

سطح پوشش برف از روی تصویر ماهواره‌ای IRS مربوط به تاریخ دیگری از سال آبی مورد مطالعه برآورد گردیده و سپس براساس معیارهای QE، RE و RMSE صحت‌سنگی مدل انجام گرفت که نتایج مقدار معیار RMSE را برای مدل دو و چند متغیره به ترتیب برابر ۰/۰۱ و ۰/۰۲ نشان داد.

واژه‌های کلیدی: ذوب برف، مدل‌های آماری، مدیریت منابع آب، تصاویر IRS و حوزه آبخیز زرینه رود

## مقدمه

آب بزرگ‌ترین سرمایه طبیعی بشمار می‌آید، لذا در حفظ و بهره‌وری بهینه از آن باید نهایت سعی و دقت را نمود. آب نقش مهم و زیر بنایی در پیشرفت و توسعه‌ی جوامع به عهده دارد و با وجود فراوانی آب در سیاره‌ی زمین، پراکنش زمانی و مکانی آن موزون نمی‌باشد. به گونه‌ای که بسیاری از جوامع به دلیل موقعیت جغرافیایی ویژه‌ی خود از مشکل کمبود آب رنج می‌برند [۴]. کشور ایران به دلیل قرار گرفتن در کمربند خشک بیابانی دارای کمبود منابع آب است. اگرچه این مشکل از گذشته‌های دور نیز وجود داشته است، ولی امروزه با فعالیت‌های کشاورزی، صنعتی و رشد و توسعه‌ی شهرنشینی و افزایش سریع جمعیت و تقاضا برای آب، این کمبود بیش از پیش احساس می‌گردد. این موضوع اهمیت مطالعه‌ی منابع آب را مبتنی بر حوزه‌های آبخیز آشکار می‌سازد. بر اساس بررسی‌های انجام گرفته حدود ۶۰ درصد آب‌های سطحی و ۵۷ درصد آب‌های زیرزمینی کشور در مناطق برف‌گیر قرار داشته و از آب حاصل از ذوب برف تغذیه می‌کنند [۳ و ۱۰]. تمرکز دبی ناشی از ذوب برف طی فصل بهار و اوایل تابستان نه تنها باعث ایجاد سیلاب شده و مناطقی وسیع را زیر سیل می‌برد بلکه باعث هدر رفت آب مورد نیاز برای اهداف آبیاری، شرب و تولید نیرو خواهد شد [۲۳]. از سوی دیگر، ذوب برف در تشکیل دبی کل رودخانه مشارکت دارد به همین دلیل برآورد رواناب ناشی از ذوب برف اهمیت زیادی دارد [۱۳]. ضریب انعکاسی بالای برف به همراه پراکنش سطحی بالای آن تاثیر زیادی بر بیلان تابشی زمین دارد [۱۴]. بیشتر روش‌های کارآمد پایش<sup>۴</sup> گستره‌ی برفی با استفاده از پایش از راه دور به وسیله‌ی ماهواره‌ها می‌باشد [۱۴]. خوشبختانه ویژگی‌های فیزیکی برف، پایش این پدیده را از راه سنجش از دور

برآورد رواناب ناشی از ذوب برف با استفاده از تصاویر ماهواره‌ای IRS و کاربرد مدل‌های آماری (مطالعه‌ی موردی: حوزه‌ی آبخیز زرینه رود)

محمد سیدی علم‌آباد<sup>۱</sup>، حمیدرضا مرادی<sup>۲</sup> و محمد رضا قبیرپور<sup>۳</sup>  
تاریخ دریافت: ۸۸/۵/۲۷ تاریخ پذیرش: ۸۸/۱۲/۱۱

## چکیده

با توجه به امکان پذیر نبودن اندازه‌گیری ویژگی‌های برف در مناطق کوهستانی به دلیل صعب‌العبور بودن، با بکارگیری تصاویر ماهواره‌ای IRS و استخراج داده‌های پوشش برفی در حوزه‌های آبخیز می‌توان با استفاده از مدل‌های آماری شامل مدل‌های رگرسیون دو و چند متغیره رواناب ناشی از ذوب برف را برآورد نمود که در مدیریت منابع آب کاربردی فراوان دارد. این پژوهش در حوزه‌ی آبخیز زرینه رود به دلیل برخورداری از موقعیتی ویژه در تامین حجم شایان توجهی از آب مصرفی استان آذربایجان غربی انجام شد. در این پژوهش افزون بر یافته‌های ناشی از سنجش از دور از داده‌های زمینی بدست آمده از ایستگاه‌های کلیماتولوژی، برف‌سنگی و هیدرومتری واقع در حوزه‌ی آبخیز زرینه رود نیز بمنظور ارائه مدل‌های رگرسیونی برای تعیین آورد رودخانه‌ها استفاده شده است. نتایج بدست آمده از ارزیابی دقت مدل رگرسیونی چند متغیره با استفاده از دو معیار دقت کمی شامل ضریب تبیین ( $R^2$ ) و تفاضل حجم (DV)، مقدار این معیارها را برای سه ماه مورد مطالعه از سال آبی ۲۰۰۶-۲۰۰۷ در حوزه‌ی آبخیز زرینه رود به ترتیب برابر ۰/۹۴ و ۰/۴۸-۱۳/۴۸ نشان داد. ارزیابی مدل دو متغیره با استفاده از این دو معیار نیز، مقدار این معیارها را در همین بازه زمانی به ترتیب برابر ۰/۸۱ و ۱۹/۳۶ نشان داد. برای انجام صحت‌سنگی مدل‌های آماری،

۱- دانش‌آموخته‌ی کارشناسی ارشد رشته‌ی علوم و مهندسی آبخیزداری، دانشکده‌ی منابع طبیعی دانشگاه تربیت مدرس، مازندران m\_saeidi1225@yahoo.com

۲- نویسنده مسئول و استادیار دانشکده‌ی منابع طبیعی دانشگاه تربیت مدرس، گروه مهندسی آبخیزداری، مازندران morady5hr@yahoo.com

۳- استادیار دانشکده‌ی منابع طبیعی دانشگاه ساری، گروه مهندسی آبخیزداری، مازندران

سمادنی [۲۰] با استفاده از مدل بیلان آب رواناب ناشی از ذوب برف را برای ماههای اکتبر تا فوریه در دو حوزه‌ی Valuoja و Gimdalbyn سوئد شبیه‌سازی نمود. نتایج نشان داد که شبیه‌سازی در حوزه‌ی آبخیز Valuoja در مقایسه با Gimdalbyn بهتر انجام گرفت و ضریب همبستگی در حوزه‌ی Valuoja و Gimdalbyn به ترتیب برابر  $0.85 / 0.80$  و  $0.55 / 0.50$  بودند.

در ایران نیز نجفی و همکاران (۱۳۸۳) رواناب ناشی از ذوب برف را با استفاده از مدل SRM برای حوزه‌ی آبخیز سد مهاباد با ضریب رگرسیون و اختلاف حجمی به ترتیب  $0.85 / 0.79$  درصد برآورد نموده و دقت شبیه‌سازی را در حد قابل قبول ارزیابی نمودند. همچنین آذرهره دشت (۱۳۸۴) رواناب ناشی از ذوب برف را با استفاده از فناوری سنجش از دور و روش‌ها GIS برای حوزه‌ی آبخیز رودخانه‌ی قزل اوزن مدل‌سازی کرد. نتایج نشان داد که مدل SRM در پیش‌بینی جریانات روزانه در حوزه‌ی آبخیز رودخانه‌ی قزل اوزن قابلیت بالایی دارد. مدل‌های پیش‌بینی ذوب برف هر کدام برای نیازهای ویژه و شرایط هیدرولوژیکی مشخصی توسعه یافته‌اند. مدل‌های خیلی کمی می‌توانند در شرایط گوناگون هیدرولوژیکی بکار برد شوند. از جمله مدل‌هایی که به صورت رایج در مسایل مربوط به برف بکار برد می‌شوند شامل مدل SAARR<sup>۴</sup> (۱۹۷۲)، SRM<sup>۵</sup> (۱۹۷۵)، NWSRFS<sup>۶</sup> (۱۹۷۳)، PRMS<sup>۷</sup> (۱۹۸۳) می‌باشد که برخی از این مدل‌ها از جمله مدل SRM به صورت گسترده‌ای هم در شبیه‌سازی و هم برای پیش‌بینی رواناب ذوب برف استفاده شده‌اند [۱۵]. با توجه به این که نواوری بکار رفته در این پژوهش اولاً استفاده از تصاویر ماهواره‌ای IRS-P6 با عرض تصویربرداری وسیع و قدرت تفکیک مکانی و رادیومتری بالا نسبت به سایر تصاویر بکار رفته در زمینه‌ی برآورد سطح پوشش برف می‌باشد و از لحاظ دقت برآورد سطح پوشش برف در سطحی بالا قرار گرفته است که تاکنون در ایران از این تصاویر در این زمینه استفاده نشده است و از سوی دیگر، دوره‌ی تکرار تصویربرداری در تصاویر ماهواره‌ای IRS-P6 حدود یک ماه می‌باشد و تصاویر استفاده شده در این پژوهش کل فصل بارش برف از ماه دسامبر تا ماه مارس را در بر می‌گیرد، بنابراین دقت برآورد رواناب بدست آمده در سطح نسبتاً خوبی قرار گرفته است. ضمن این که استفاده از مدل‌های آماری در برآورد رواناب ذوب برف از دیگر نوآوری‌های این پژوهش بشمار می‌آید که تاکنون در این زمینه در ایران انجام نگرفته است. هدف از انجام این پژوهش برآورد رواناب روزانه‌ی ناشی از ذوب برف با استفاده از تصاویر ماهواره‌ای IRS-P6 و با کاربرد مدل‌های رگرسیونی دو و چند متغیره در حوزه‌ی آبخیز زرینه رود می‌باشد. همچنین ارزیابی میزان دقت مدل‌های رگرسیونی دو و چند متغیره در

ممکن ساخته است [۱۴]. از داده‌های سنجش از دور در بررسی سطح پوشش برف و ویژگی‌های هیدرولوژیکی حوزه‌های آبخیز استفاده‌های زیادی شده است [۱۷]. در سالهای اخیر استفاده از ماهواره‌ها به ویژه ماهواره‌های هوشمندی توانسته است اطلاعات مفیدی راجع به رطوبت‌ها، رطوبت خاک، وجود ابرهای باران‌زا، محل ریزش آن‌ها و تشکیل مناطق پرسشار و کم فشار در اختیار بشر قرار دهد. دست‌یابی به داده‌های برف سنجی مناطق مرتفع از ضرورت و اهمیتی بسیار زیاد برخوردار بوده است. برداشت زمینی داده‌های یاد شده نیازمند وجود شبکه‌ای متراکم از ایستگاههای برف سنجی است که نه تنها از لحاظ اجرایی با مشکلاتی مواجه است، بلکه از لحاظ اقتصادی نیز سرویس دهی و نگهداری آن‌ها مقرن به صرفه نمی‌باشد [۴]. امروزه فناوری سنجش از دور، از راه تصویربرداری پیوسته، دستیابی به داده‌های یاد شده را امکان‌پذیر ساخته است. ماهواره بهترین وسیله‌ای است که می‌تواند پوشش بری مناطق وسیعی را که با روش‌های زمینی تعیین محدوده‌ی آن‌ها امکان‌پذیر نیست، در زمان‌های گوناگون نشان دهد [۲۱ و ۲]. به دلیل این که هر یک از سنجنده‌های دورسنجی از مزایا و محدودیتی ویژه برخوردارند، بهتر است در تعیین سطح پوشش برف از چند سنجنده استفاده شود [۴]. در مجموع داده‌های مناطق پوشیده از برف گرفته شده از ماهواره‌ها ویژه در حوزه‌ها که پوشش برف موقتی دارند، بسیار مفید است [۲].

رانگو و همکاران [۱۹] با استفاده از یک روش ساده پردازش تصویر در تصاویر NOAA مساحت پوشش برف را طی سال‌های ۱۹۶۹ - ۱۹۷۳ در حوزه‌های آبخیز رودخانه‌های سند و کابل در پاکستان و افغانستان تعیین کردند و توانستند بین مساحت پوشش برف در حوزه‌ی آبخیز و دبی رودخانه رابطه‌ای معنی دار پیدا کنند. رامورتی [۱۸] نقش سطح مناطق پوشیده از برف (SCA)<sup>۲</sup> در برآورد رواناب فصل ذوب برف را بررسی نموده و مدل رگرسیون خطی مربوط به آن را با استفاده از درصد مناطق پوشیده از برف برای حوزه‌ی SATLEG هندوستان ارایه کرد. هاولی و همکاران به نقل از مک‌کوین [۱۶]، از مدل‌های رگرسیونی در برآورد رواناب فصل ذوب برف استفاده نمودند. فصل برف دوره‌ای تلقی شد که بیش ترین حجم رواناب ذوب برف در آن فصل به وقوع پیوسته بود. نتایج نشان داد که دقت مدل‌های رگرسیونی با افزایش طول دوره آماری به ویژه برای دوره‌های بالاتر از ۶۰ روز ارتباط معنی داری دارد. در ارتباط با استفاده از تصاویر ماهواره‌ای IRS، گوپتا و همکاران [۱۳] با کمک تصاویر ماهواره‌ای IRS<sup>۳</sup> در هندوستان مناطق پوشش بری خشک را از تر جدا کردند. در مقایسه بین پوشش برف خشک اندازه گیری شده با روش‌های زمینی و پوشش برف خشک برآورد شده از روش حرارتی، مقدار اختلاف از  $1/7$  درصد تا  $42/7$  درصد مشاهده شد.

1- Multisensor

2- Snow Covered Areas

3- Indian Remot Sensing

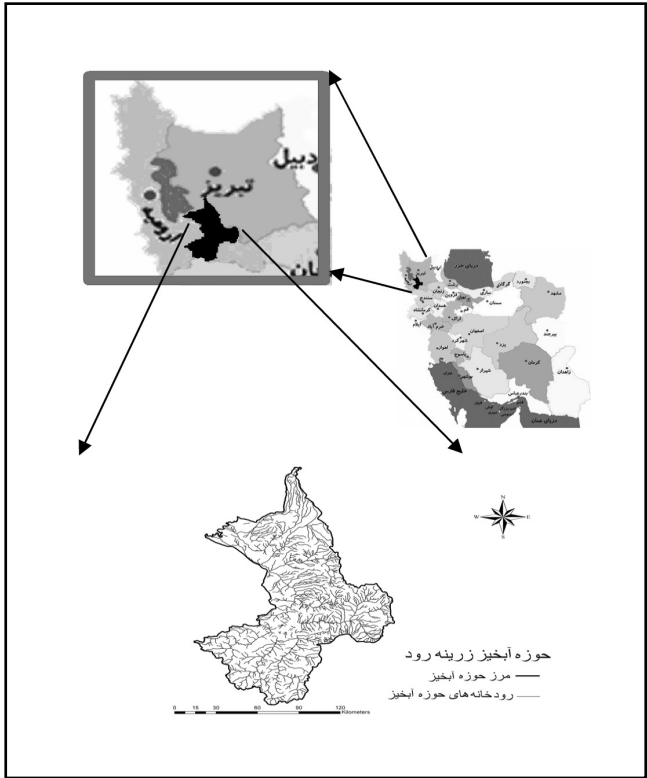
4- Streamflow Synthesis and Reservoir Regulation

5- Snowmelt- Runoff Model

6- National Weather Service River Forecast System

7- Precipitation Runoff Modeling System

است.



شکل ۱ - نقشه‌ی موقعیت جغرافیایی حوزه‌ی آبخیز زرینه رود در استان و کشور

#### ایجاد تصاویر طبقه‌بندی شده IRS

تصاویر IRS استفاده شده در این پژوهش از سنجنده Awifs از سری ماهواره‌ی منابع زمینی هندوستان IRS-P6 می‌باشد. این تصاویر از قدرت تفکیک طیفی بالایی برخوردار بوده و برای تهیه‌ی نقشه‌های پوشش برف مناسب هستند. مشخصات ماهواره IRS-P6 در جدول (۱) آمده است<sup>[۶]</sup>. برای تعیین سطح پوشش برف (SCA) حوزه‌ی آبخیز زرینه رود در فصل بارش برف در سال آبی ۲۰۰۶-۲۰۰۷، از سه تصویر ماهواره‌ای IRS مربوط به روزهای بیست دسامبر، هفدهم ژانویه و یکم فوریه استفاده گردید. تصحیح هندسی<sup>۱</sup> چهار باند هر کدام از این تصاویر در محیط نرم افزار atica-PCI geom در سیستم مختصات متريک<sup>۲</sup> و با روش نزديک ترین همسایه<sup>۳</sup> در سیستم مختصات متريک<sup>۴</sup> و با خطای جذر ميانگين مربعات<sup>۵</sup> کمتر از ۰/۵ درجامي گرفت. تصاویر ماهواره‌ای IRS تصحيح شده به داخل نرم افزار ILWIS ۱.۳ وارد گردید و هيستوگرام حاصل از ترکيب باندهای هر تصویر ترسیم گردیده و

- 1- Geometric Correction
- 2- Ground Control Point
- 3- Nearest neighbour
- 4- UTM
- 5- RMSE

برآورد رواناب روزانه ناشی از ذوب برف و مقایسه‌ی نتایج بدست آمده از آن‌ها با یکدیگر در حوزه‌ی مورد نظر، از دیگر اهداف این پژوهش است. منطقه‌ی مورد مطالعه در این پژوهش در بخش مواد و روش‌ها تشریح گردیده و همچنین چگونگی ایجاد تصاویر طبقه‌بندی شده IRS، عملیات تحلیل مکانی جهت استخراج محدوده‌ی حوزه‌ی آبخیز زرینه رود، تهیه‌ی نقشه‌های پوشش برف از تصاویر طبقه‌بندی شده IRS، برآورد رواناب روزانه‌ی ناشی از ذوب برف با استفاده از مدل‌های رگرسیونی دو و چند متغیره و در نهايّت ارزیابی و صحّت‌سنجی اين مدل‌ها نيز در اين بخش مورد بررسی قرار گرفته است. نتایج بدست آمده از تصاویر ماهواره‌ای IRS و همچنین نتایج بدست آمده از مدل‌های رگرسیونی در بخش نتایج آورده شده و در بخش بحث و نتيجه‌گيری مورد تحلیل قرار گرفته است.

#### مواد و روش‌ها

##### منطقه‌ی مورد مطالعه

حوزه‌ی آبخیز رودخانه‌ی زرینه رود (سد بوکان) در شمال غربی ایران و در جنوب شرقی دریاچه‌ی ارومیه واقع شده است (شکل ۱). این حوزه‌ی آبخیز در مختصات جغرافیایی  $45^{\circ} - 47^{\circ}$  تا  $15^{\circ} - 25^{\circ}$  طول شرقی و  $30^{\circ} - 36^{\circ}$  عرض شمالی گسترده شده است. مساحت حوزه‌ی آبخیز زرینه رود حدود ۱۳۸۹۰ کیلومتر مربع است. سد مخزنی زرینه رود روی رودخانه‌ی زرینه رود در استان کردستان و در فاصله‌ی ۸۵ کیلومتری جنوب شهرستان مياندوآب و در شرق شهرستان بوکان احداث شده است. رودخانه‌ی زرینه رود از دامنه‌های شمالی کوههای چهل چشمۀ در نزدیکی مرز عراق سرچشمۀ گرفته و پس از جمع آوری جريان‌های سطحی تعدادی از شاخه‌های مهم مانند ساروق‌چای، خورخوره‌چای، سقزچای و آجرلو از جنوب به سمت شمال جريان یافته و در نهايّت به دریاچه‌ی ارومیه می‌ریزد<sup>[۷]</sup>. ميانگين سالانه‌ی بارندگی حوزه‌ی آبخیز زرینه رود حدود ۵۲۷ ميليمتر برآورد شده و بيش ترين بارندگی در ماههای اسفند تا اردیبهشت است که حدود ۴۷ درصد از بارش سالانه را در بر گرفته و تنها ۷ درصد از بارندگی در ماههای خداداد تا مهر انجام می‌گيرد. ميانگين سالانه‌ی دما در محل سد زرینه رود  $12/4$  درجه‌ی سانتي‌گراد برآورد شده که از حدود  $1/8$  درجه‌ی سانتي‌گراد (مردادماه) متغير است.

حوزه‌ی آبخیز سد بوکان دارای اقليمي نيمه خشک و از نوع سرد کوهستانی می‌باشد. از لحظه وضعیت برف‌خیزی منطقه، درصد بالایی از مقادیر بارش‌های سالانه، بويژه در فصل‌های پاييز و زمستان، به صورت برف ريزش می‌کند<sup>[۵]</sup> و با توجه به عملکرد سامانه‌های جوي سينوبطيک حاكم در منطقه و نقش توپوگرافی محلی، حد پايداري عنصر برف در طول سال، بويژه در مناطق مرتفع حوزه‌ی آبخیز، نسبت به سایر مناطق جغرافیایی كشور متفاوت

آنالوگ شامل ۲۷ شیت نقشه توپوگرافی با مقیاس ۱:۵۰،۰۰ به فرمت رقومی جهت استخراج محدوده‌ی حوزه و تعیین خط برف، ایجاد مدل رقومی ارتفاع<sup>۹</sup> (شکل ۶) و استخراج محدوده‌ی حوزه‌ی آبخیز زرینه رود انجام گرفت. در این مرحله به ترتیب عملیات تغییر فرمت داده‌ها، تلفیق لایه‌ها، اعمال تصحیحات هندسی، استخراج پارامترهای هیدرولوژیکی (از جمله تعیین محدوده‌ی حوزه آبخیز و شبکه‌ی آبراهه‌ها) صورت پذیرفت [۵].

**تئیه نقشه‌های پوشش برف از تصاویر IRS**  
بمنظور ایجاد نقشه‌ی پوشش برف حوزه‌ی آبخیز زرینه رود، نقشه‌ی مرز حوزه‌ی آبخیز پس از یکسان‌سازی سیستم مختصات با تصاویر طبقه‌بندي شده منطقه، روی این تصاویر قرار گرفته و برش داده شد و به این ترتیب نقشه‌های پوشش برف حوزه‌ی آبخیز مربوط به تاریخ‌های ذکر شده از روی تصاویر ماهواره‌ای IRS تهیه گردید [۱۰، ۲ و ۸]. در این مرحله با هدف کاهش نقش بازتابش پیکسل‌های منفرد از فیلتر بارزسازی اکثربیت<sup>۱۰</sup> استفاده شد [۵]. گفتنی است که نقشه‌ی برفی نهایی در فرمت باینری بوده و از منطق بولین پیروی می‌کند و در این مدل، کل تصویر به دو پنهانی برفی و بدون برف طبقه‌بندي شد. با توجه به این که سطح پوشش برف مهم ترین عامل در برآورد رواناب روزانه ناشی از ذوب برف با استفاده از مدل‌های آماری دو و چند متغیره است، دقت نقشه‌های طبقه‌بندي شده، با استفاده از میزان رواناب بدست آمده از مدل و مقایسه‌ی آن با رواناب اندازه‌گیری شده‌ی حوزه‌ی آبخیز بدست آمد.

### کاربرد مدل‌های آماری

برای برآورد رواناب روزانه ناشی از ذوب برف از متغیرهای سطح پوشش برف، شاخص درجه- روز و رواناب روزانه اندازه‌گیری شده حوزه‌ی آبخیز زرینه رود در ایستگاه سد بوکان که خروجی حوزه‌ی آبخیز می‌باشد، استفاده شد. موقعیت ایستگاه‌های سینوپتیک و برف‌سنگی حوزه‌ی آبخیز زرینه رود بر روی نقشه‌ی مناطق شهری در شکل (۲) نشان داده شده است. به این منظور از داده‌های ماههای دسامبر، زانویه و فوریه از سال آبی ۲۰۰۶-۲۰۰۷ استفاده شد. برای یک جامعه‌ی آماری معادله‌ی رگرسیون خطی دو متغیره به صورت رابطه‌ی  $y = ax + b$  می‌باشد که در آن  $a$  و  $b$  ضرایب رگرسیون،  $x$  متغیر مستقل و  $y$  نیز متغیر وابسته می‌باشد. با برآورد ضرایب  $a$  و  $b$  معادله‌ی رگرسیون خطی دو متغیره مشخص خواهد شد و در این صورت میزان تغییرات  $y$  بر حسب تغییرات  $x$  به صورت کمی در می‌آید [۹]. برای برآورد رواناب روزانه ناشی از ذوب برف از راه مدل رگرسیون خطی دو متغیره، ابتدا لازم است که سطح پوشش برف برای سایر روزهایی که تصاویر ماهواره‌ای IRS برداشت نشده است برآورد گردد. بدین منظور رابطه‌ی رگرسیونی به

9- Digital Elevation Model

10- Majority Filter

همبستگی بین باندهای گوناگون این تصاویر مورد بررسی قرار گرفت. برای انجام بارزسازی<sup>۱</sup> مناسب ترین ترکیب از باندهای هر تصویر که بیشترین وضوح و تباين<sup>۲</sup> را در تصویر ایجاد نمودند با توجه به همبستگی بین باندها انتخاب و برای ایجاد تصاویر ترکیبی<sup>۳</sup> IRS استفاده گردید. منظور انجام طبقه‌بندي تصاویر از روی هر کدام از این تصاویر نمونه‌های طیفی<sup>۴</sup> تهیه شد [۱]. نمونه‌های طیفی مربوط به هر تصویر، امكان طبقه‌بندي پیکسل‌های موجود در تصویر را فراهم نمود.

جدول ۱ - ویژگی‌های سنجنده‌های گوناگون از ماهواره P6-IRS

IRS-P6			نام ماهواره
نام سنجنده	توان تفکیک مکانی (متر)	عرض تصویر برداری (کیلومتر)	تعداد باندها
AWIFS	۲۳/۵	۵/۸	۶۰-۷۰
LISS-III	۱۴۰	۲۳/۹	۷۰۰
LISS-IV			۴
	۰/۵۲-۰/۵۹	۰/۵۲-۰/۵۹	۰/۵۲-۰/۵۹
	۰/۶۲-۰/۶۸	۰/۶۲-۰/۶۸	۰/۶۲-۰/۶۸
	۰/۷۷-۰/۸۶	۰/۷۷-۰/۸۶	۰/۷۷-۰/۸۶
	۱/۵۵-۱/۷۰	۱/۵۵-۱/۷۰	۱/۵۵-۱/۷۰
توان تفکیک رادیومتری	۷- Bit	۷- Bit	۱۰- Bit

به دلیل قدرت تفکیک مکانی بالای تصاویر ماهواره‌ای IRS، از روی نمونه‌های طیفی ایجاد شده از هر تصویر با استفاده از روش طبقه‌بندي نظارت نشده<sup>۵</sup> و کلاستر بندي<sup>۶</sup> تصویر، پیکسل‌های موجود در تصویر طبقه‌بندي گردیدند. در این حالت پیکسل‌های تصویر در دو طبقه<sup>۷</sup> به صورت برف و غیر برف طبقه‌بندي شدند [۱]. به این ترتیب تصویر طبقه‌بندي شده<sup>۸</sup> تشکیل گردید که در آن برف از غیر برف تفکیک شده است.

### عملیات تحلیل مکانی

در محیط نرم افزار Arc GIS 9.2 مراحل آماده‌سازی داده‌ها انجام گرفته و عملیات تحلیل مکانی نظری تبدیل نقشه‌های توپوگرافی

1- Image Enhancement

2- Contrast

3- Map list

4- Sample Set

5- Unsupervised Classification

6- Clustering

7- Cluster

8- Mapcluster

جدول ۲ - ارتفاع، طول و عرض جغرافیایی ایستگاههای سینوپتیک  
و برف سنجی حوزه‌ی آبخیز زرینه رود

نام ایستگاه	ارتفاع	طول جغرافیایی	عرض جغرافیایی
آنیان	۱۴۵۰	۴۶° ۳۰'	۳۶° ۱۳'
صفاخان	۱۴۷۵	۴۶° ۳۲'	۳۶° ۲۵'
قبقلو	۱۵۰۰	۴۶° ۱۰'	۳۶° ۱۱'
سد بوکان	۱۵۲۰	۴۶° ۳۲'	۳۶° ۲۵'
آلascal	۱۷۵۰	۴۷° ۰۲'	۳۶° ۲۹'
چارتاغ	۲۵۰۰	۴۷° ۱۷'	۳۶° ۲۸'
شیخ چوبان	۱۸۰۰	۴۵° ۵۴'	۳۶ ف ۱۴
گور بابا	۲۲۱۰	۴۶° ۵۲'	۳۶° ۱۴'
مقانحق	۱۵۰۰	۴۶° ۲۵'	۳۷° ۲۰'

برآورد شده از رگرسیون در مرحله‌ی قبل، در این معادله رواناب ناشی از ذوب برف به صورت روزانه برای تمامی روزهای مربوط به ماههای دسامبر، زانویه و فوریه از سال آبی ۲۰۰۶-۲۰۰۷ برآورد شد [۱۸]. معادله‌ی رگرسیون خطی چند متغیره با پیش از دو متغیر پیش‌بینی که مدل درجه‌ی اول خطی با  $p=1$ -متغیر پیش‌بینی نامیده می‌شود به صورت رابطه‌ی زیر است:

$$y = b_1 + b_2 x_1 + b_3 x_2 + \dots + b_{p-1} x_{p-1} + a$$

و  $b_{p-1}$  ضرایب رگرسیون و  $x_1, x_2, \dots, x_{p-1}$  متغیرهای مستقل و  $a$  نیز متغیر وابسته می‌باشد. در صورت برآورد ضرایب رگرسیونی در این معادله، معادله‌ی رگرسیون خطی چند متغیره بدست خواهد آمد که در آن میزان تغییرات  $y$  بر حسب متغیرهای پیش‌بینی  $x_1, x_2, \dots, x_{p-1}$  به صورت کمی در می‌آید [۹]. بر این اساس افزون بر مدل رگرسیون دو متغیره، ارتباط بین متغیرهای شاخص درجه-روز، میانگین درجه حرارت روزانه و سطح پوشش برف با رواناب روزانه حوزه به صورت مدل رگرسیون چند متغیره نیز بدست آمد.

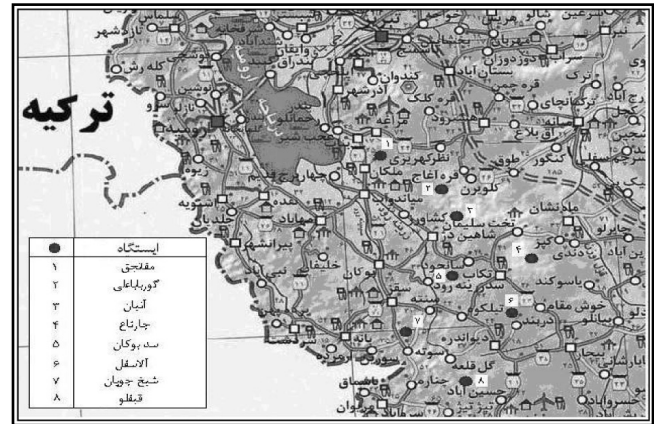
### ارزیابی و صحبت‌سنگی مدل‌های آماری

رواناب روزانه‌ی محاسبه شده از راه مدل رگرسیونی با رواناب روزانه اندازه‌گیری شده حوزه‌ی آبخیز، به وسیله‌ی دو معیار دقت کمی شامل ضریب تبیین ( $R^2$ ) و تفاضل حجم (DV) مورد مقایسه قرار گرفته [۲۳؛ ۲۲ و ۱۵] و دقت مدل دو و چند متغیره در برآورد رواناب خروجی حوزه موردن بررسی قرار گرفت. این ضرایب از راه روابط ۲ و ۳ قابل محاسبه هستند.

$$R^2 = 1 - \frac{\sum_{i=1}^n (Q_i - Q'_i)^2}{\sum_{i=1}^n (Q_i - \bar{Q})^2} \quad (2)$$

که در آن:  $Q_i$  دبی رواناب روزانه اندازه‌گیری شده،  $Q'_i$  دبی

صورت خطی بین سطح پوشش برف بدست آمده از تصاویر ماهواره‌ای IRS با رواناب روزانه اندازه‌گیری شده حوزه‌ی آبخیز زرینه رود در ایستگاه سد بوکان و در محیط نرم افزار SPSS برقرار گردید [۱۸].



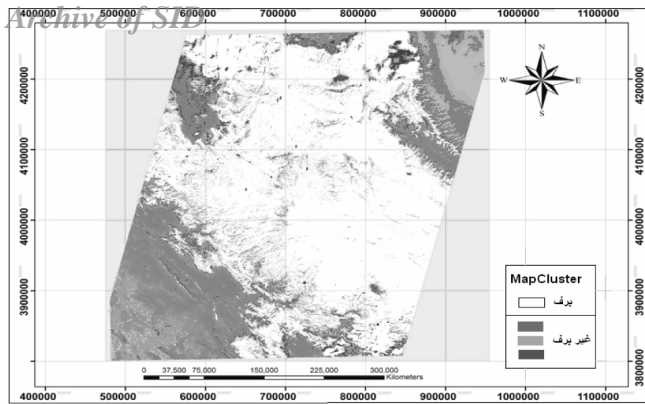
شکل ۲ - موقعیت ایستگاه‌های سینوپتیک و برف سنجی حوزه‌ی آبخیز زرینه رود بر روی نقشه مناطق شهری

با قرار گرفتن رواناب اندازه‌گیری شده کلیه روزها در این رابطه سطح پوشش برف برای سایر روزهای این سه ماه برآورد شد [۱۸]. چگالی برف همانند دیگر ویژگی‌های برف در طی سه روز در ماههای گوناگون از فصل ریزش برف در ایستگاه سد بوکان اندازه‌گیری شده و شاخص درجه- روز ۲۷ برای هر ماه عدد مشخصی را نشان می‌دهد [۱۵]، بنابراین برای هر یک از ماههای دسامبر، زانویه و فوریه با توجه به چگالی برف اندازه‌گیری شده در این ایستگاه، این شاخص از راه رابطه‌ی ۱ بدست آمد:

$$\alpha = 1.1 \left( \frac{\rho_s}{\rho_w} \right) \quad (1)$$

که در آن:  $\alpha$  شاخص درجه- روز بر حسب سانتی‌متر بر درجه سانتی‌گراد در روز،  $\rho_s$  و  $\rho_w$  به ترتیب چگالی برف و چگالی آب بر حسب گرم بر سانتی‌متر مکعب می‌باشند. برخی از ویژگی‌های ایستگاه‌های سینوپتیک و برف سنجی حوزه‌ی آبخیز زرینه رود شامل ارتفاع، طول و عرض جغرافیایی این ایستگاهها در جدول (۲) آورده شده است.

بین مقادیر شاخص درجه- روز محاسبه شده و سطح پوشش برف بدست آمده از تصاویر ماهواره‌ای IRS ارتباط برقرار گردید. از سوی دیگر، ارتباط بین همین مقادیر شاخص درجه- روز با دبی رواناب روزانه اندازه‌گیری شده در روزهای مربوط به تصاویر ماهواره‌ای IRS نیز بدست آمد. از تلفیق این دو رابطه، رابطه‌ی نهایی بدست آمد که این معادله ارتباط بین سطح پوشش برف و دبی رواناب روزانه حوزه، با توجه به شاخص درجه- روز می‌باشد و در آن،  $(x)$  سطح پوشش برف و  $(y)$  رواناب روزانه حوزه است. با جایگذاری مقادیر سطح پوشش برف بدست آمده از تصاویر ماهواره‌ای IRS و همچنین



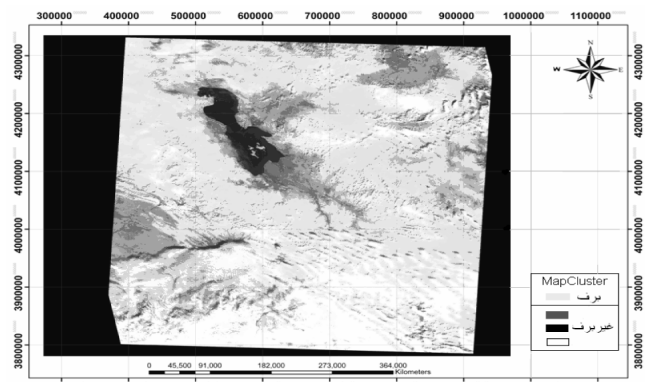
شکل ۴- تصویر طبقه بندی شده IRS منطقه مورد تحقیق در تاریخ ۲۰۰۷/۱/۱۷

روش طبقه بندی نظارت نشده و کلاستریندی پیکسل های تصویر را نشان می دهد که در آن تصاویر در دو طبقه به صورت برف و غیر برف تفکیک گردیده اند. شکل های ۸ تا ۱۰ نقشه های پوشش برف حوزه‌ی آبخیز زرینه رود در تاریخ های گوناگون را نشان می دهد. از راه نقشه های پوشش برف مقادیر سطح پوشش برف حوزه‌ی آبخیز زرینه رود به صورت جدول (۳) بدست آمد. رابطه‌ی رگرسیونی خطی بین سطوح پوشش برف حاصل از تصاویر ماهواره‌ای IRS با رواناب روزانه اندازه گیری شده حوزه‌ی آبخیز زرینه رود در ایستگاه سد بوکان به صورت رابطه‌ی ۴ بدست آمد.

$$y = 16329/16 - x \cdot 3358/17 \quad (7)$$

که در آن: (x) رواناب روزانه اندازه گیری شده و (y) سطح پوشش برف بدست آمده از تصاویر ماهواره‌ای IRS می باشد. میزان ضریب تبیین در این معادله برابر ۰/۸۶ بدست آمد.

با استفاده از رابطه‌ی ۷ از راه رواناب روزانه اندازه گیری شده در روزهای بدون تصویر، سطح پوشش برف مربوط به این روزها برآورده شد. سپس با توجه به مقادیر چگالی برف اندازه گیری شده در ایستگاه سد بوکان، شاخص درجه- روز به صورت جدول (۴) به دست آمد.



شکل ۵- تصویر طبقه بندی شده IRS منطقه مورد تحقیق در تاریخ ۲۰۰۷/۲/۱

رواناب روزانه محاسبه شده، میانگین دبی اندازه گیری فصل مورد مطالعه و n شماره دبی روزانه می باشد.

$$D_{V[\%]} = [(V_R - \bar{V}_R) / \bar{V}_R] \times 100 \quad (3)$$

که در آن  $V_R$  حجم سالانه یا فصلی رواناب روزانه ناشی از ذوب برف با استفاده از مدل رگرسیونی، سطح پوشش برف از تصاویر ماهواره‌ای IRS مربوط به تاریخ یست و پنجم فوریه از سال آبی ۲۰۰۶-۲۰۰۷ برآورد شده و در مدل های آماری بدست آمده وارد گردید و سپس با استفاده از معیارهای RE، RMSE و QE (روابط ۴، ۵ و ۶) رواناب شبیه سازی شده با رواناب واقعی حوزه مورد مقایسه قرار گرفت.

$$RMSE = \sqrt{\frac{1}{n} \sum_{i=1}^n [z(x_i) - \hat{z}(x_i)]^2} \quad (4)$$

که در آن RMSE، مجذور میانگین مربعات خطای  $z(x_i)$ ، مقدار مشاهده‌ای متغیر وابسته؛ ( $x_i$ )، مقدار تخمینی متغیر وابسته و n تعداد مشاهدات می باشد.

$$RE = \left| \frac{Y_0 - Y_e}{Y_0} \right| \times 100 \quad (5)$$

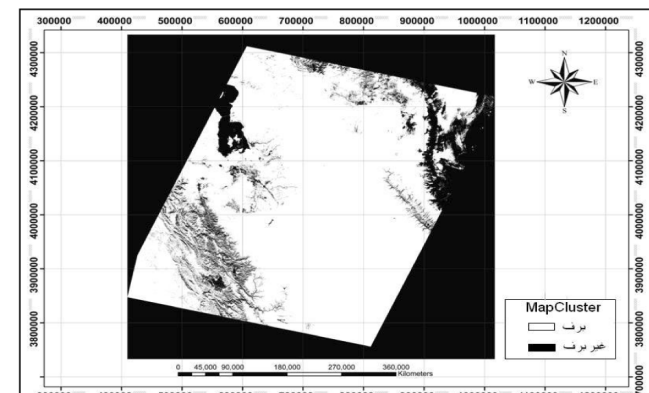
که در آن RE، خطای نسبی؛  $Y_0$ ، مقدار مشاهده‌ای متغیر وابسته؛  $Y_e$ ، مقدار تخمینی متغیر وابسته می باشد.

$$QE = \frac{\frac{1}{n} \sum_{i=1}^n (Q_0 - \bar{Q}_0) - \frac{1}{n} \sum_{i=1}^n (Q_0 - Q_e)^2}{\frac{1}{n} \sum_{i=1}^n (Q_0 - \bar{Q}_0)} \quad (6)$$

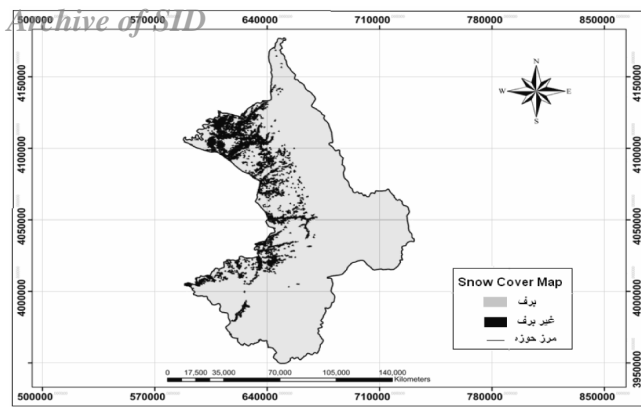
که در آن QE، ضریب کارایی،  $Q_0$ ، مقدار مشاهده‌ای متغیر وابسته؛  $Q_e$ ، مقدار تخمینی متغیر وابسته؛  $\bar{Q}_0$ ، میانگین کل مقدار مشاهده ها و n تعداد مشاهدات می باشد.

## نتایج

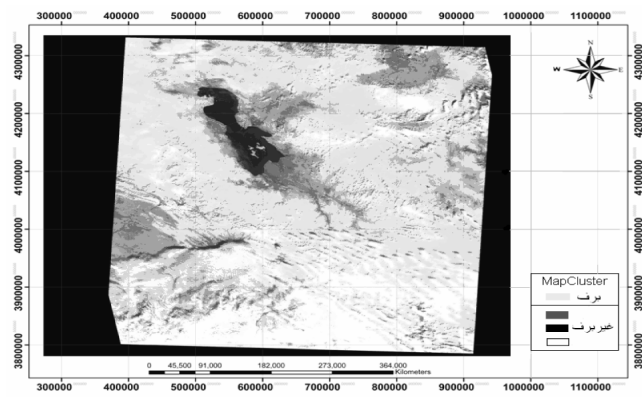
شکل های (۳) تا (۵) تصاویر طبقه بندی شده IRS با استفاده از



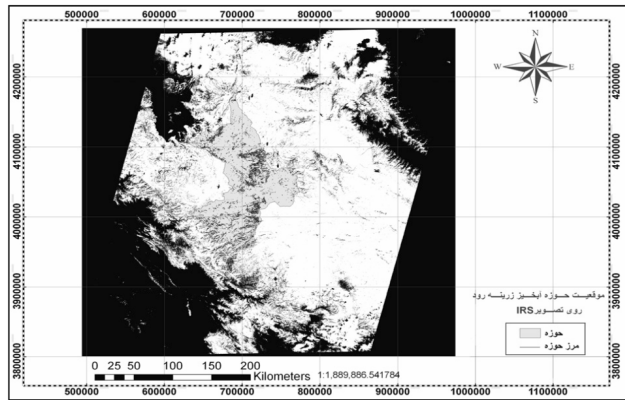
شکل ۳- تصویر طبقه بندی شده IRS منطقه مورد تحقیق در تاریخ ۲۰۰۶/۱۲/۲۰



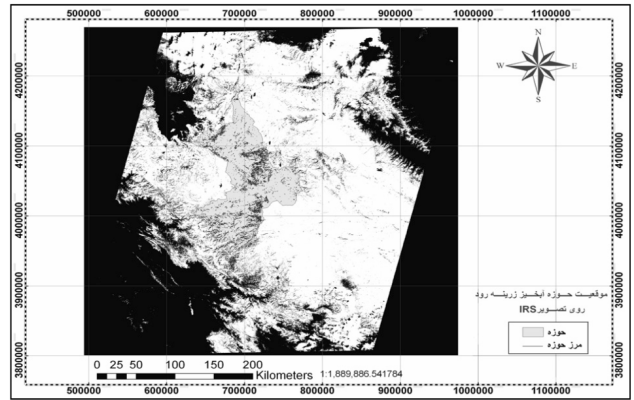
شکل ۸- نقشه پوشش برف حوزه آبخیز زرینه رود  
در تاریخ ۲۰۰۶/۱۲/۲۰



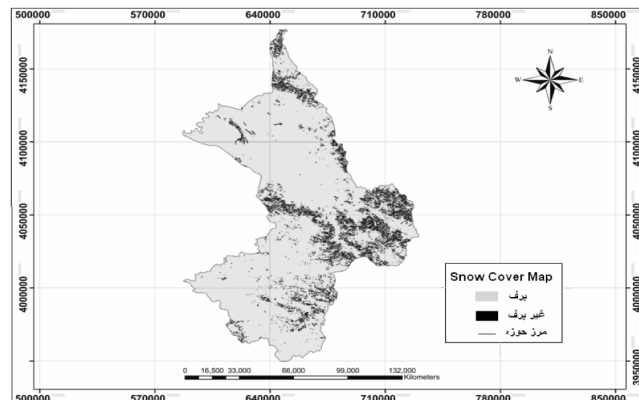
شکل ۶- نقشه مدل رقومی ارتفاع حوزه آبخیز زرینه رود



شکل ۹- نقشه پوشش برف حوزه آبخیز زرینه رود  
در تاریخ ۲۰۰۷/۱/۱۷



شکل ۷- موقعیت حوزه آبخیز زرینه رود در تصویر ماهواره‌ای IRS  
در تاریخ ۲۰۰۷/۱/۱۷



شکل ۱۰- نقشه پوشش برف حوزه آبخیز زرینه رود  
در تاریخ ۲۰۰۷/۱/۲

جدول ۳- نتایج ناشی از نقشه‌های پوشش برف بدست آمده از تصاویر طبقه‌بندی شده IRS حوزه‌ی آبخیز زرینه رود

زرینه رود (km <sup>2</sup> )	برف حوزه آبخیز(cm)	روز سطح پوشش	ردیف ماه / سال
۳۴۲۴/۸۴	۲۵	۲۰۰۷/ فوریه	۱

معیار ضریب تبیین ( $R^2$ ) و تفاضل حجم ( $D_V$ )، مقدار آن‌ها را برای مجموع سه ماه مورد مطالعه از سال آبی ۲۰۰۶-۲۰۰۷ در حوزه‌ی آبخیز زرینه رود به ترتیب برابر  $0/81$  و  $19/36$ - نشان داد. نتایج بدست آمده از صحت سنجی مدل رگرسیون دو متغیره، با استفاده از مساحت پوشش برف حاصل از تصویر ماهواره‌ای IRS (جدول ۴) در تاریخ ۲۵/۲/۲۰۰۷ (شکل ۱۱) مقدار معیار RMSE را برابر  $0/2$  نشان داد. مدل رگرسیون چند متغیره ناشی از ارتباط بین متغیرهای شاخص درجه- روز، میانگین درجه حرارت روزانه و سطح پوشش برف با رواناب روزانه حوزه به صورت رابطه‌ی  $11$  بدست آمد.

(11)

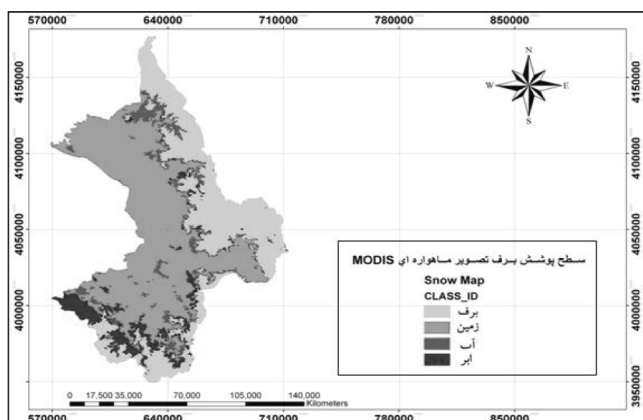
$$y = 0/189 + 0/00064(x_1) - 0/000295(x_2) + 0/000061(x_3) \quad (11)$$

که در آن:  $y$  رواناب روزانه‌ی حوزه؛  $x_1$  شاخص درجه- روز؛  $x_2$  میانگین درجه حرارت روزانه و  $x_3$  سطح پوشش برف می‌باشد. نتایج ارزیابی مدل رگرسیونی چند متغیره، مقدار دو معیار ( $R^2$ ) و ( $D_V$ ) را در همان بازه‌ی زمانی به ترتیب برابر  $0/94$  و  $-13/48$  نشان داد.

همچنین نتایج بدست آمده از صحت سنجی این مدل نیز مقدار معیارهای RE، RMSE و QE را به ترتیب برابر  $0/019$ ،  $0/24$  و  $0/99$  نشان داد.

### بحث و نتیجه‌گیری

نتایج بدست آمده از ارزیابی دقت مدل رگرسیون چند متغیره که به وسیله‌ی معیار دقت کمی یا ضریب تبیین ( $R^2$ ) انجام گرفت، مقدار این معیار را برای مجموع ماههای دسامبر، ژانویه و فوریه از سال آبی ۲۰۰۶-۲۰۰۷ در حوزه‌ی آبخیز زرینه رود برابر  $0/94$  نشان داد و بنابراین با نتایج ناگلر و همکاران [۱۷] در برآورد رواناب ناشی از ذوب برف در چند حوزه‌ی آبخیز اتریش از جمله حوزه‌ی آبخیز VENT برای سال آبی ۲۰۰۶ با ضرایب تبیین از



شکل ۱۱- نقشه پوشش برف حوزه‌ی آبخیز زرینه رود  
در تاریخ ۲۵/۲/۲۰۰۷

بین مقادیر شاخص درجه- روز محاسبه شده و سطح پوشش برف بدست آمده از تصاویر ماهواره‌ای IRS ارتباط رگرسیونی به صورت رابطه‌ی  $5$  برقرار گردید که در آن:  $(x)$  سطح پوشش برف و  $(y)$  شاخص درجه- روز می‌باشد. میزان ضریب تبیین در این معادله برابر  $0/74$  بدست آمد.

$$y = 0/00002x + 0/457 \quad (8)$$

از سوی دیگر، بین همین مقادیر شاخص درجه- روز با دبی رواناب روزانه اندازه‌گیری شده در روزهای مربوط به تصاویر ماهواره‌ای IRS نیز رابطه‌ای دیگر به صورت رابطه‌ی  $9$  برقرار گردید که در آن ضریب تبیین برابر  $0/82$  بدست آمد.

$$y = 0/0278x + 0/518 \quad (9)$$

که در آن:  $(x)$  رواناب روزانه‌ی اندازه‌گیری شده و  $(y)$  شاخص درجه- روز می‌باشد. از تلفیق این دو رابطه با یکدیگر، رابطه‌ی نهایی (رابطه‌ی  $10$ ) بدست آمد که این رابطه ارتباط بین سطح پوشش برف و دبی رواناب روزانه‌ی حوزه‌ی آبخیز، با توجه به شاخص درجه- روز است و در آن:  $(x)$  سطح پوشش برف و  $(y)$  رواناب روزانه‌ی آبخیز می‌باشد.

$$y = 0/0000719x + 0/2194 \quad (10)$$

با جایگذاری مقادیر سطح پوشش برف بدست آمده از تصاویر ماهواره‌ای IRS و همچنین برآورده شده از رگرسیون در مرحله‌ی پیش، در این معادله رواناب ناشی از ذوب برف به صورت روزانه برای روزهای مربوط به ماههای دسامبر، ژانویه و فوریه از سال آبی ۲۰۰۶-۲۰۰۷ برآورد شد.

نتایج ارزیابی دقت مدل رگرسیونی دو متغیره با استفاده از دو

جدول ۴- مقادیر شاخص درجه- روز برای پنج ماه از سال آبی ۲۰۰۷-۲۰۰۶

ماه	اکتبر	نوامبر	دسامبر	ژانویه	فوریه
شاخص روز- درجه-	۰/۱۸	۰/۲۱	۰/۲۳۳	۰/۲۴۰	۰/۳۴۰

جدول ۵- مساحت پوشش برف حاصل از تصویر ماهواره‌ای IRS در تاریخ ۲۵/۲/۲۰۰۷

ردیف	ماه / سال	روز	سطح پوشش برف حوزه‌ی آبخیز (km <sup>2</sup> )
۱	دسامبر / ۲۰۰۶	۲۰	۱۳۵۱۱/۴۰
۲	ژانویه / ۲۰۰۷	۱۷	۱۲۹۳۷/۵۶
۳	فوریه / ۲۰۰۷	۱	۷۰۲۶/۴۰

- ۲- پر همت، ج. ، ثقیفیان، ج. و صدقی، ح. ۱۳۸۴. بررسی کاربرد مدل SRM در شبیه سازی رواناب حاصل از ذوب برف با استفاده از داده های ماهواره ای در حوزه های بدون آمار برف (مطالعه موردي حوزه خرسان در کارون)، مجله تحقیقات منابع آب ایران بهار ۱۱(۱): ۱۱-۱۳.
- ۳- شرکت مدیریت منابع آب ایران (تمام). ۱۳۷۵. بولتن وضعیت منابع آب کشور، سال هشتم، شماره ۱۲: ۸۹ ص.
- ۴- جلوخانی نیارکی، م. ج. ۱۳۸۱. تهیه نقشه پوشش برف با استفاده از تصاویر AVHRR - NOAA و تکنیک های GIS مطالعه موردي: حوزه آبخیز سد کرج، پایان نامه کارشناسی ارشد، دانشگاه تربیت مدرس: ۲۹۱ ص.
- ۵- رسولی، ع. ا. و ادهمی، س. ۱۳۸۶. محاسبه آب معادل از پوشش برفی با پردازش تصاویر سنجنده MODIS مجله جغرافیا و توسعه. شماره ۱۰.
- ۶- سازمان جغرافیایی نیروهای مسلح. ۱۳۸۷. گزارش سازمان جغرافیایی نیروهای مسلح در مورد تصاویر ماهواره ای IRS: ۵ ص.
- ۷- سیدی علم آباد، م.، مرادی، ح. ر.، قنبرپور، م. ر. و میریعقوب زاده، م. ح. ۱۳۸۷. بررسی تاثیر ارتفاع از سطح دریا بر عمق برف در حوزه آبخیز سد زرینه رود. مجموعه مقالات سومین همایش یافته های پژوهشی کشاورزی و منابع طبیعی (غرب کشور). دانشگاه کردستان.
- ۸- قنبرپور، م. ر. ۱۳۸۴. بررسی پراکنش مکانی و زمانی سطح پوشش برف و مدل پیش بینی رواناب، پایان نامه دکتری رشته مهندسی آبخیزداری، دانشگاه تهران: ۲۳۳ ص.
- ۹- مصدقی، م. ۱۳۸۳. روشهای رگرسیون در تحقیقات کشاورزی و منابع طبیعی، انتشارات آستان قدس رضوی، ۲۹۰ ص.
- ۱۰- نجفی، م. ر.، شیخی وند، ح. و پر همت، ج. ۱۳۸۳. برآورد رواناب حاصل از ذوب برف در حوزه های برف گیر با استفاده از مدل SRM مطالعه موردي: حوزه سد مهاباد، مجله علوم کشاورزی و منابع طبیعی ۱۱(۳): ۱۱۱-۱۲۱.

11- Baret, C.K.D.E.G. 1990. Satellite Remote Sensing For Operational Hydrology, issue 2: 211.

12- Clark, M.P., Slater, A.G., Barrett A.P., Hay L.E., McCabe, G.J., Rajagopalan, B. 2006. Assimilation of snow covered area information into hydrologic and land- surface models: Advancees in Water Resources, 29: 1209- 1221.

13- Gupta, R.P., Haritashya, U.K. and Singh, P. 2005. Mapping dry/wet snow cover in Indian Himalayas using IRS multispectral imagery: Remote Sensing of Environment, 97: 458- 469.

14- Hall, D.K., Klein, A.G. and Riggs, G.A. 1997. Improving the AIR MODIS Global SNOW-

۰/۹۶ تا ۰/۹۶ با استفاده از مدل رگرسیون خطی چند متغیره مطابقت دارد و مشخص نمود که مدل چند متغیره در برآورد رواناب روزانه ناشی از ذوب برف با توجه به شاخص درجه- روز، میانگین درجه حرارت روزانه و سطح پوشش برف بدست آمده از تصاویر ماهواره ای IRS، از دقیقی بالا برخوردار است. طول دوره ای آماری مورد استفاده در این پژوهش ۹۰ روز است که به تقریب کل فصل بارش برف از سال آبی ۲۰۰۶-۲۰۰۷ را در بر می گیرد و این مسئله باعث افزایش دقت مدل در برآورد رواناب روزانه ای ناشی از ذوب برف شده است. نتایج بدست آمده با یافته های هاولی و همکاران به نقل از مک کوئین [۱۶]، مبنی بر این که دقت مدل های رگرسیونی با افزایش طول دوره ای آماری بویژه برای دوره های بالاتر از ۶ روز ارتباطی معنی داردارد، مطابقت می کند. نتایج بدست آمده از ارزیابی دقت مدل چند متغیره که از راه معیار دقت کمی یا تفضیل حجم DV) انجام گرفت، مقدار این معیار را برای مجموع ماه های دسامبر، ژانویه و فوریه از سال آبی ۲۰۰۶-۲۰۰۷ در حوزه آبخیز زرینه رود برابر ۱۳/۴۸ - نشان داد که با نتایج حاصل از برآورد رواناب روزانه در حوزه آبخیز آنگران<sup>۱</sup> در کشور ازبکستان به نقل از مارتینس و همکاران [۱۵] با تفضیل حجم DV) برابر ۱۳/۹ - مطابقت می نماید. مدل رگرسیون چند متغیره به دلیل استفاده از متغیرهای تاثیرگذار بیشتر، نتایجی بهتر نسبت به مدل رگرسیون دو متغیره داشته است. میزان دقت این مدل، استفاده از آن را بمنظور برآورد رواناب روزانه ای ناشی از ذوب برف توجیه می کند. همچنین صحبت سنجی مدل رگرسیونی نیز نشان داد که در مجموع معیارهای RE، RMSE و QE استفاده از روش خوشبندی در تصاویر ماهواره ای IRS برای محاسبه سطح پوشش برف و برآورد رواناب ناشی از ذوب برف با استفاده از مدل های آماری را تایید می کند. پیشنهاد می شود از مدل های آماری دو و چند متغیره در برآورد رواناب ناشی از ذوب برف برای سایر حوزه های آبخیز کشور استفاده شده و میزان دقت آنها در این حوزه ها نیز مورد ارزیابی قرار گیرد.

### تشکر و قدردانی

از مسئولان محترم سازمان جغرافیایی نیروهای مسلح، سازمان مدیریت منابع آب تهران، سازمان هواسناسی کشور و سازمان آب منطقه ای آذربایجان غربی برای در اختیار قرار دادن داده های لازم تشکر می نماییم.

### منابع

- ۱- آذر هرده دشت، ا. ۱۳۸۴. مدل سازی رواناب ناشی از ذوب برف را با استفاده از فناوری سنجش از دور و تکنیک ها، پایان نامه کارشناسی ارشد رشته مهندسی عمران، دانشگاه تهران: ۱۸۶ ص.

1- Angren

Himalayan region employing meteorological satellite snow cover observation: Water Resources Research, 13: 109-112.

20- Semadeni, D.A. 1997. Monthly Snowmelt modeling for large- scale climate change studies using the degree day approach: Ecological modeling, 101: 303-323.

21- Simpson, J.J., Stitt J.R. and Sienko, M. 1998. Improved estimates of the areal extent of snow-cover from AVHRR data, Journal of Hydrology, 204: 1-23.

22- Swamy, A.N. and Brivio, P.A. 1996. Hydrological modelling of snowmelt in the Italian Alps using visible and infrared remote sensing: International Journal of Remote Sensing, 17 (16): 3169- 3188.

23- Tekeli, A.E., Rekb, Z.A., Sormanc, A.A., Sensoyc, A. and Sorman, A.U. 2005. Using MODIS snow cover maps in modelling snowmelt runoff process in the eastern part of Turkey: Remote Sensing of Environment, 97: 216- 230.

Mapping Algoritme, In: Proceedings of Symposium on IEEE International Geoscience and Remote Sensing (IGARSS97), 1-5 March, 1997: 619- 621.

15- Martinec, J., Rango, A. and Roberts, R. 1998. Snowmelt runoff model (SRM) user's manual. Geographica Bernensia, Switzerland, University of Bern, 35: 1-42.

16- McCuen, R.H. 1998. Hydrologic Analysis and Design, Prentice Hall Pu: 238.

17- Nagler, T., Rott, H. and Malcher, P. 2007. Florian Müller Assimilation of Meteorological and Remote Sensing Data for Snowmelt Runoff Forecasting: Remote Sensing of Environment, DOI: 10.1016/j.rse.2007.07.006.

18- Ramamoorthi, A.S. 1987. Snow cover area (SCA) is the main factor in forecasting snowmelt runoff from major river basins, In: Proceedings of the Vancouver Symposium? IAHS Publ, 166: 187- 197.

19- Rango, A., Salomonson, V.V. and Foster, J.L. 1977. Seasonal stream flow estimation in the